

RAFAEL ARROYO ILERA

## Volumen y procedencia de la Moneda Romana del 313 al 318 d.C. en el Territorio Valenciano

El período situado entre los años 313 y 318 d. C. es una época difícil desde el punto de vista histórico, por la falta de fuentes y, además, por la discrepancia de ellas cuando existen (1). Pero, al mismo tiempo, engloba una etapa muy interesante desde el punto de vista numismático, el de las reducciones de los follis 1/72 y 1/96. Por ello, después de recoger el material tanto de lugares oficiales como de particulares, queremos presentar esta primera aproximación sobre las emisiones monetarias del tipo SOLI INVICTO COMITI en las tierras valencianas.

Históricamente es un período que se halla inmerso en los problemas de la Tetrarquía. El 5 de mayo del 311 muere Galerio. Licinio y Maximino ocupan inmediatamente su territorio, siendo el Bósforo la frontera entre ambos. Constantino negocia con Licinio un acuerdo que será fortalecido por el futuro matrimonio entre Licinio y Costancia, hermana de Constantino. Mientras Maximino, sospechando las maniobras que se estaban fraguando contra él, concluye un acuerdo con Maxencio y declara la guerra a Constantino. Pero este último, ocupa rápidamente el Norte de Italia gracias al ejército del Rhin. El 28 de octubre del 312 se libra la batalla con Maxen-

1.- LACTANCE. *De la mort des persecuteurs* Introducción, texto y traducción de J. Moreau, Sources Chrétiennes núm. 39. Paris, 1954.

P. BRUUN. «Studies in Constantinian Chronology», *Numismatic Notes and Monographs*, núm. 146. Nueva York, 1961.

J. LAFAURIE. «Dies imperii Constantini Augusti: 25 decembre 307», *Melanges André Piganiol*, Paris, 1966.

cio del *Pons Milvius*, saliendo victorioso. Roma le recibirá como su liberador y el Senado le otorga el rango supremo de emperador.

A comienzos del 313 Constantino y Licinio se encuentran en Milán para celebrar el matrimonio de Licinio y Constancia, promulgando el Edicto de Tolerancia (2). Mas tarde Maximino, en ausencia de Licinio, atraviesa el Bósforo y toma Bizancio y Heraclea. Antes estos hechos, Licinio reacciona rápidamente, sus ejércitos se enfrentan y Maximino muere dejando a Constantino y Licinio como únicos dueños del Imperio.

Para mantener una paz duradera se decide establecer una zona tampón entre los estados de Constantino y Licinio, pero este proyecto fracasa, iniciándose unas relaciones que terminan en una guerra fría. Poco a poco las relaciones entre ambos gobernantes son cada vez más tensas, hasta que en el verano del 316, estalla la guerra. Constantino toma Siscia y Licinio se bate en retirada. Pasados los primeros contactos militares, ambos emperadores se deciden por la negociación que tiene lugar el 1 de marzo del 317. Por dicho acuerdo Constantino recibía una parte considerable de los territorios de Licinio. Al mismo tiempo se decide crear tres nuevos Cesares, los dos hijos de Constantino, Crispo y Constantino II, y el hijo de Licinio, Licinio II. (3).

## 1. LA REDUCCION DE LOS FOLLIS.

Los acontecimientos históricos anteriores coincidirán, desde el punto de vista numismático, con dos reducciones de la moneda, las correspondientes a 1/72 y 1/96 a la libra. Estas modificaciones que afectarán a los talleres galo-británicos e italianos están en la base inicial de la política monetaria establecida por Diocleciano. El problema de las reducciones es complejo, pues no se conoce bien el peso exacto de cada una de ellas ni la fecha en que tuvieron lugar. Por ello hay diversos esquemas. Bastien y Vasselle (4) ya recogieron toda la bibliografía sobre este tema y establecieron la siguiente cronología:

1ª reducción: abril 307. Follis de 1/36 libra.

2ª reducción: mayo-comienzos 307. Follis 1/42 libra.

3ª reducción: noviembre 307 a finales 309. Follis <sup>a</sup>548 libra.

4ª reducción: 310-313. Follis de 1/72 libra.

2.- A. PIGANIOL. *L'empereur Constantin*, París, 1932.

3.- Esta guerra que había sido situada en el año 314 d C. fue definitivamente colocada en el 316 gracias a la investigación llevada a cabo por P. Bruun. Ver P. BRUUN. «Constantine and Licinius a. d. 313-337», *The Roman Imperial Coinage* T. VII London, 1966. Y también en T.D. BARNES. «Lactantius and Constantine», *Journal of Roman Studies* LXIII, London, 1973, págs. 29-46.

4.- P. BASTIEN y F. VASSELLE. *Le trésor monétaires de Domqueur (Somme)*, Numismatique Romaine, Essais, recherches et documents II. Wetteren, 1965.

Pero poco después Sutherland (5), al analizar el período monetario entre Diocleciano hasta la eliminación de Maximino, estableció una cronología unida a los diferentes pesos de cada una haciendo diferencias entre los distintos talleres. Lo que ponía de manifiesto que en cada uno de los talleres se podían haber aplicado diferentes criterios a las decisiones de la Tesorería. Bastien y Huvelin (6) reaccionaron en sentido opuesto afirmando que las reducciones de los follis fueron ordenadas y aplicadas al mismo tiempo en todos los talleres controlados por Constantino. Las diferencias y oscilaciones de pesos pueden ser un problema exclusivamente del número de ejemplares estudiados.

Por otra parte, el criterio seguido por algunos autores (7) de relacionar la reforma de los follis con una cifra en *scrupulos* es desviar un problema que sólo se halla en relación con la libra romana. Por tanto las diferencias que se observan entre unos pesos y otros son aspectos en los que entran cuestiones tan diversas como la oxidación a la posible usura, que, sin duda, debió de existir.

El período cronológico del 313 al 318 engloba la 4ª y 5ª reducción que corresponde al follis de 1/72 y 1/96 libra. Callu (8), al estudiar los depósitos monetarios de estos años, dedujo que hasta el año 313 la masa principal de la moneda estaba constituida por los follis de las reducciones 1/32, 1/40 y 1/48. Pero a partir de dicha fecha hasta el 316 poco a poco estas monedas fueron desapareciendo, hasta el punto de que, a comienzos del 317, podían hallarse piezas en grado de excepcionalidad. La causa de su desaparición puede estar precisamente en la existencia de los follis de la 4ª y 5ª reducción que rápidamente desmonetizarán los follis pesados de los períodos anteriores.

La distribución de estas reducciones en el material estudiado es como sigue:

Taller	1/72	1/96
<i>Ostia</i>	2.9 %	—
<i>Londinium</i>	3.6 %	2.2 %
<i>Treveris</i>	8.0 %	2.2 %
<i>Arelate</i>	—	36.8 %
<i>Lugdunum</i>	13.9 %	11.0 %
<i>Roma</i>	7.3 %	18.3 %
Total	35.2 %	64.7 %

5.- C.H.V. SUTHERLAND. *The Roman Imperial Coinage*. Vol. VI, London, 1967.

6.- P. BASTIEN y H. HUVELIN. *Trouvaille de Folles de la Periode Constantinienne (307-317)*, Numismatique Romaine, Essais, recherches et documents. Wetteren, 1969. pág. 2.

Los porcentajes por taller para cada uno de los dos períodos presentan un número superior para los follis de la 5ª reducción con un 64.7 % pero reducidos en la práctica a tres cecas: *Arelate*, que es sin duda la de mayor aprovisionamiento, seguida de *Roma* y de *Lugdunum*, aunque ésta en menor proporción que en el período anterior. Sin embargo el reparto de los follis de 1/72, aún representando el 39.7%, es más diversificado en cuanto a talleres, siendo *Lugdunum* y *Treveris* los más representativos con un 13.9% y un 8.0% respectivamente.

Dado que el material que utilizamos no procede de ningún tesoro, no es correcto compararlo con hallazgos de este tipo, pero sí que cabe hacerlo con los datos aportados por *Conimbriga* (9):

Taller	1/72	1/96
<i>Ostia</i>	3.7 %	—
<i>Treveris</i>	3.7 %	3.7 %
<i>Arelate</i>	—	62.96 %
<i>Lugdunum</i>	14.81 %	7.40 %
<i>Ticinum</i>	—	3.7 %

De lo que se deduce que, en la talla de los follis 1/72, la mayor procedencia de estas piezas es de *Lugdunum* con un 14.81% que disminuye a un 7.40% en los follis 1/96, al igual que en las tierras valencianas. Por otro lado el aprovisionamiento de los follis de la 5ª reducción, en un 62.96% es originario de *Arelate*, seguido de *Lugdunum*, datos que también coinciden con el material que estamos estudiando, los cuales serían representativos de dos porciones de *Hispania*, en su parte occidental y oriental. El único dato que observamos en nuestro material que se distancia del de *Conimbriga* es el 18.3% de la ceca de *Roma* lo cual se explicaría por la situación geográfica, pues, sin duda, Valencia, por su franja marítima, tendría unos mayores contactos con Roma.

En cuanto al análisis global, los follis de 1/72 en *Conimbriga* suponen el 22.22% y en Valencia el 35.2%, porcentaje que en ambos casos se verá

7.- J. LAFURIE. Rapports sur les Conférences, Numismatique romaine et médiévale en *Anuaire 1963-64 de L'Ecole Pratique des Hautes Etudes, IV section*.

8.- J.P. CALLU. «La circulation monétaire de 313 a 3480. *Actes du 8º Congrès international de numismatique*. New York -Washington, 1973 Paris-Bale, 1976.

Para un análisis en conjunto de todas las emisiones ver el importante trabajo de G. DEPEYROT. *Le numéraire gaulois du IVe siècle Aspects quantitatifs*, BAR International Series, 127 (i), London, 1982.

9.- I. PEREIRA, J.P. BOST. J. HIERNARD. *Fouilles de Conimbriga III Les Monnaies*. Paris, 1974.

incrementado en la reducción siguiente con un 77.77% y un 64.7% respectivamente.

## 2. ANALISIS DE LOS TALLERES.

El contenido de cada uno de los talleres atendiendo a las diferentes emisiones, marcas y pesos, nos permite introducirnos en la relación que debió de existir entre aprovisionamiento y política de la Tesorería.

**2.1. Taller de Ostia:** Comprende los follis de la última emisión, todos ellos del 1/72. Cronológicamente se sitúan hacia el final del 312 y el comienzo del 313, e históricamente está en relación con la entrada en Roma de Constantino, lo cual produjo emisiones y tipos monetarios similares en Roma, Aquileia y Ostia (10).

Todas las piezas son del tipo *Soli invicto comiti* llevando en exergo MOST, al que se añade la oficina P,S,T,Q. Es una serie interesante, pues la atribución de las oficinas a cada uno de los emperadores no presenta dificultad alguna. Constantino emite bajo la P y S, Maximino con la T, y Licinio con la Q (11). En esto último Sutherland (12) consideró que las acuñaciones a nombre de Licinio son raras, pero al parecer esto no es del todo exacto, como se puso de manifiesto en el tesoro de L'anse Saint-Roch de Antibes donde, en un total de 27 piezas para esta emisión, 7 son de Licinio. Y en nuestro trabajo, en número reducido de 4 piezas, una de ellas, es de Licinio.

Con la muerte de Maximino en junio del 313 la ceca se cierra, pasando sus funciones a *Arelate*.

**2.2. Taller de Londinium:** Del taller de Londinium tenemos constancia de tres emisiones, la primera bajo talla de 1/72 y las dos restantes de 1/96. Estas son:

$\frac{TF}{PLN}$ , cronológicamente situada entre el 309 y el 311, es del tipo de Sol a izquierda y el globo en la mano separada del cuerpo. En talla de 1/96 tenemos  $\frac{+}{PLN}$  y  $\frac{SF}{PLN}$  ambas desde el 313 al 314. La primera es una emisión confusa, pues hay piezas sobre la talla de 1/72 ya que, mientras se estaban emitiendo, se produjo la devaluación del 1/96 (13).

**2.3. Taller de Treveris:** Comprende bajo tres emisiones la talla de piezas de 1/72 y de 1/96. Siendo las primeras más numerosas aunque concentradas en el tipo de  $\frac{TF}{PTR}$  que se trata de la última emisión antes de sufrir el cambio de 1/96. Es una emisión cronológicamente situada entre finales del 309 y mitad del 313 y es del tipo de Sol a izquierda. Las dos emisiones res-

tantes son  $\frac{TF}{ATR}$  y  $\frac{TF}{BTR}$  que se sitúan, la primera entre la mitad del 316 y la mitad del 317, y la segunda en el 317. Se distingue fácilmente su talla de 1/96 por el diámetro, que se reduce a 19 mm. En el conjunto de las piezas de *Treveris* supone esta reducción, en el material manejado, sólo el 2.2%.

**2.4. Taller de Arelate:** Se trata sin duda del taller más importante en emisiones del que tenemos constancia. Este aspecto no es exclusivo de las tierras valencianas, sino que también lo vemos reflejado en la circulación monetaria de *Conimbriga*. Por otra parte, el día que se analicen materiales semejantes en la *Betica*, es muy posible que den los mismos resultados.

La primera emisión de la que tenemos datos se trata de la  $\frac{SF}{TARL}$  con la variable de Sol a izquierda y a derecha, que corresponde cronológicamente al período 315-316. Por ello no entramos en la discusión sobre la emisión primera PARL en lo concerniente a si es sobre talla de 1/72 o 1/96 (14). Todas las emisiones que tenemos datos corresponden a la talla de la 5ª reducción.

La emisión más numerosa es  $\frac{TF}{TARL}$  y  $\frac{TF}{QARL}$  con las variables de Sol a derecha y a izquierda, este dato cuantitativo ya fue señalado por Bruun (15). Cronológicamente se la sitúa en el 316. Supone un 42.5% del total de las piezas estudiadas de esta ceca.

Bruun reunió en una sola emisión la anterior marca y la siguiente  $\frac{MF}{PARL}$  con Sol a izquierda, de la que tenemos dos ejemplares.

Por último se encuentran las emisiones de  $\frac{CS}{PARL}$  y  $\frac{RS}{PARL}$ . De la primera existen ejemplares con Sol a derecha y a izquierda, su datación, situada entre el otoño del 216 a Mayo-Junio del 317, no está conforme a la cronología de Bruun que la sitúa entre los años 317-318. Esta modificación de secuencias también afecta a la marca  $\frac{RS}{PARL}$ . Pensamos que la revi-

10.- J. MAURICE. *Numismatique Constantinienne*. París, 1908. (Reimpresión de Arnaldo Forni Editore).

11.- G.B. ROGERS. «Le trésor de L'Anse Saint-Roch à Antibes», en *Archaeonautica* 3 París, 1981. págs. 265-434.

12.- Cf. RIC VI. pág. 398.

13.- H. HUVELIN. «Le trésor de Saint-Colombier-en-Sarzeau». en *Trésors Monétaires* II. París, 1980. págs. 59-103.

14.- Huvelin, ob. cit. pag. 66.

15.- P. BRUUN. *The Roman Imperial Coinage*, T. VII, London, 1966.

sión de fechas de Bastien y Lafaurie (16) es más correcta. Por último queremos señalar que el tanto por ciento entre ambas emisiones, es de un 20% en  $\frac{CS}{PARL}$  y de un 7.5% para  $\frac{RS}{PARL}$ .

**2.5. Taller de Lugdunum:** Tenemos de esta importante ceca constancia de emisiones que corresponden a la 4ª y 5ª reducción. De la primera tres tipos:

$\frac{FT}{PLG}$ ,  $\frac{SF}{PLG}$  y  $\frac{TF}{PLG}$ , todos a talla de 1/72. La primera se sitúa entre finales del 309 y el 311, la segunda en el 312-313 y la última a comienzos del 313. De esta emisión tenemos solamente constancia de una moneda de 4.10 gr. y 23 mm. de diámetro, se trata de una pieza escasa, pues es parte de la emisión corta en talla de 1/72, como puso de manifiesto Bastien y H. Huvelin (17). Por su parte Bruun (18) siempre había integrado todas las piezas de  $\frac{TF}{PLG}$  en una emisión del 1/96, pero la realidad es que se trataba de dos, aunque la primera muy corta.

En cuanto a la 5ª reducción tenemos tres tipos  $\frac{TF}{PLG}$ ,  $\frac{TE+}{PLG}$  y  $\frac{AS}{PLG}$  de los cuales el primero ya lo hemos mencionado, se trata de una serie abundante y corriente, de un total de 14 ejemplares, de 1/96, diez de ellos son de esta emisión. Cronológicamente se sitúa a finales del 314-315, pues el taller de *Lugdunum* a comienzos del 313 se cierra y se vuelve a abrir en el 314 en plena reducción 5ª (19).

Las siguientes emisiones se sitúan entre el 315 y el 316; del primero contamos con un único ejemplar de la serie corriente y del segundo con tres, datos poco representativos, aunque se hallan en la proporción del volumen de lo que fue cada emisión. Todas las monedas son del tipo *Soli invicto comiti* y de un diámetro de 19 mm.

## 2.6. Taller de Roma:

A la caída de Maxencio y con la ocupación de Roma por los ejércitos de Constantino el taller de *Roma* comenzará inmediatamente a acuñar moneda según talla vigente en los demás talleres de Constantino, que en aquel momento eran de talla de 1/72, con diámetro de 21 mm. La primera emisión, situada a finales del 312 y mitad del 313, emite bajo cuatro talleres, aunque nosotros sólo tenemos datos de tres RS, RT, RQ. Se trata de una

16.- P. BASTIEN y H. HUVELIN. *Trouvaille de folles...* y J. LAFAURIE «Trésor constantinien trouvé en France» en *R.N.*, París, 1966.

17.- P. Bastien y H. Huvelin, ob.cit., pág. 24.

18.- P. BRUNN. *The Roman Imperial Coinage*. T. VII. London, 1966, pág. 124.

19.- P. BASTIEN. *Le monnayage de l'atelier de Lyon*. «De la réforme monétaire de Dioclétien à la fermeture temporaire de l'atelier en 316 (294-316)», Wetteren, 1980.

serie corriente pero compleja por la enorme variedad de tipos que puede ofrecer. El Sol puede estar a derecha o a izquierda, el globo se puede tener cerca del cuerpo o alejado y la clámide ofrece distintas posiciones.

De la reducción 5ª las emisiones son más abundantes, aunque algunas de ellas son meras representaciones por el escaso número de piezas con que contamos.  $\frac{RF}{R+P}$  se acuña en el 314 con tres oficinas P, T, Q, no teniendo

datos de ninguna moneda sobre la S. A finales del 314 y 315 se da la  $\frac{RF}{RP}$  la cual, de sus cuatro oficinas, únicamente conocemos la P y S.

Del 315 y quizá de comienzos del 316 son dos emisiones cortas con el Sol a izquierda:  $\frac{SF}{RQ}$ ,  $\frac{CS}{RP}$ , de la primera sólo tenemos referencia de la oficina Q, y de la segunda de la P y S.

Con la emisión  $\frac{+}{RT}$  del año 316 termina el material que hemos podido estudiar. Se trata de una serie con la variedad de Sol a izquierda y a derecha, y el globo fuera del cuerpo o cercano.

### 3. METROLOGIA Y POSICION DE CUÑOS.

Tomando aquellas emisiones de las cuales contamos con más ejemplares, hemos obtenido los pesos medios como una simple orientación de lo que ofrece el material manejado. Al lado, entre paréntesis, damos los pesos medios de las mismas emisiones procedentes del material de un tesoro importante como es el de *Saint Colombier - en - Sarzean* (20). Con ello lo que queremos resaltar es la pérdida de peso que supone el manejar material que ha circulado mucho, como es el nuestro, y que puede observarse por el estado de conservación, y aquel procedente de un tesoro. La pérdida de peso por circulación puede ser entre 0,70 gr. a 0,80 gr.

*Ostia* MOST 4.15 gr.

*Londinium*.  $\frac{TF}{PLN}$  3.10 gr. (4.28 gr.)  $\frac{SF}{PLN}$  3.35 gr.

*Treveris*  $\frac{TF}{PTR}$  3.72 gr. (4,27 gr.)

*Arelate*  $\frac{SF}{TARL}$  3.03 gr. (3.01 gr.)  $\frac{TF}{QARL}$  2.73 gr. (3.11 gr.)  $\frac{TF}{PARL}$  2.31 gr.  
 $\frac{CS}{TARL}$  2.77 gr. (3.05 gr.)

*Lugdunum*  $\frac{FT}{PLG}$  3.34 gr. (4.19 gr.)  $\frac{SF}{PLG}$  3.73 gr. (4.12 gr.)

$\frac{TF}{PLG}$  2.56 gr. (3.09 gr.)

$$Roma \frac{RS}{R+P} 3.75 \text{ gr.} \frac{RF}{R+P} 2.77 \text{ gr.} \frac{RF}{RP} 2.91 \text{ gr.}$$

En cuanto a la posición de cuños la orientación de todos los talleres se halla en dos posiciones  $\uparrow$  o  $\downarrow$  con alguna variación de la vertical. Únicamente no sigue esta regla el taller de *Londinium* en el que todas sus acuñaciones adoptan una sola posición

#### 4. ESCULTURA CUALITATIVA DETALLADA.

El conjunto de las emisiones estudiadas, presenta a nivel de las acuñaciones por emperador los siguientes datos en tantos por ciento:

Maximino.....	0.7%
Licinio.....	2.9%
Constantino.....	96.2%

Lo que evidencia que, a nivel de la zona estudiada, el aprovisionamiento era claramente dominante a favor de las piezas de Constantino, pues el resto da datos insignificantes.

En cuanto al análisis de lo que suponen en total el volumen de la masa monetaria, desde el punto de vista cronológico, existen dos momentos claves: el período de finales del 312 y mitad del 313, que corresponde al establecimiento de la talla 1/72, y el 316 que recoge el grueso de las acuñaciones de la reducción 1/96.

El reparto por talleres en su totalidad ofrece lo siguiente:

Talleres	%
<i>Ostia</i>	2.9
<i>Arelate</i>	29.8
<i>Londinium</i>	5.9
<i>Lugdunum</i>	25.3
<i>Treveris</i>	9.7
<i>Roma</i>	26.1

Detallando cada uno de los talleres en sus respectivas emisiones nos dan los siguientes resultados:

$$Londinium. \frac{TF}{PLN} 62.5\% \frac{SF}{PLN} 25\% \frac{+}{PLN} 12.5\%$$

$$Treveris \frac{TF}{PTR} 76.9\% \frac{TF}{ATR} 23.0\%$$

$$\begin{aligned} \text{Arelate } & \frac{\text{SF}}{\text{TARL}} 22.5\% \frac{\text{T} + \text{F}}{\text{QARL}} 40\% \frac{\text{TF}}{\text{PARL}} 7.5\% \frac{\text{CS}}{\text{TARL}} 20\% \\ & \frac{\text{RS}}{\text{PARL}} 7.5\% \frac{\text{MF}}{\text{PARL}} 5\% \end{aligned}$$

$$\begin{aligned} \text{Lugdunum } & \frac{\text{FT}}{\text{PLG}} 32.3\% \frac{\text{SF}}{\text{PLG}} 23.5\% \frac{\text{TF}}{\text{PLG}} 2.9\% \frac{\text{TF}}{\text{PLG}} 29.4\% \\ & \frac{\text{TE} +}{\text{PLG}} 2.9\% \frac{\text{AS}}{\text{PLG}} 8.8\% \end{aligned}$$

$$\begin{aligned} \text{Roma } & \frac{\text{RS}}{\text{RS}} 28.5\% \frac{\text{RF}}{\text{R} + \text{P}} 20\% \frac{\text{R} + \text{F}}{\text{RP}} 34.2\% \frac{\text{SF}}{\text{RQ}} 2.8\% \\ & \frac{\text{CS}}{\text{RP}} 5.7\% \frac{+}{\text{RT}} 8.5\% \end{aligned}$$

Por lo general cada taller tenía en oficinas en esta época, un máximo de cuatro, representadas por las letras P, S, T, y Q. Los porcentajes que cada taller tiene son los siguientes:

Taller	P	S	T	Q
<i>Ostia</i>	25 %	25 %	25 %	25 %
<i>Londinium</i>	100 %	—	—	—
<i>Treveris</i>	92.3%	7.6%	—	—
<i>Arelate</i>	27.9%	2.3%	39.5%	30.2%
<i>Lugdunum</i>	100 %	—	—	—
<i>Roma</i>	35 %	34.2%	22.8%	11.4%

Hay, en consecuencia, un claro dominio de la oficina *Prima*, seguido de la *Secunda*. En cuanto a las *Tercia* y *Quarta* el hecho estriba en que hay talleres de los que no tenemos datos, sin embargo, cuando existen, son cifras altas.

Dado que cada una de las monedas llevan la referencia bibliográfica del RIC la descripción se halla reducida a lo esencial, como es la ceca, marca de la emisión, peso, diámetro, posición de cuño, referencia al RIC y procedencia.

#### 4.1. Taller de Ostia:

MOST. Final del 312, comienzos del 313.

A. IMP. CONSTANTINVS P F AVG.

R. SOLI IN - VI - CTO COMITI. Sol izq. Globo al lado del cuerpo.

1. MOSTP. 4 gr. 22 mm. ↑ RIC 83. N.U.V. II (21).
2. MOSTT. 2.80 gr. 21 mm. ↓ semejante. N.U.V. II. MAXIMINO
3. MOSTS 3.60 gr. 21 mm. ↑ semejante. N.U.V. II
4. MOSTQ. 3.20 gr. 19 mm. ↓ semejante. RIC 85. N.U.V. II LICINIO.

#### 4.2. Taller de Londinium:

$\frac{TF}{PLN}$  309-311 IMP CONSTANTINVS P F AVG. Talla 1/72

SOLI IN - VI - CTO COMITI Sol izq. Globo fuera

5. 3.40 gr. 23 mm. ↓ RIC 124 N.U.V. II
6. 2.40 gr. 21 mm. ↓ RIC 124 N.U.V. II
7. 3.40 gr. 23 mm. ↓ RIC 124. N.U.V. II
8. 2.80 gr. 22 mm. ↓ RIC 124. N.U.V. II.
9. 3.50 gr. 22 mm. ↓ RIC 124. N.U.V. I. 61/1

$\frac{SF}{PLN}$  (Final del 313 - 314). Talla 1/96

10. 3.80 gr. 22 mm. ↓ RIC 8 N.U.V. II
11. 2.90 gr. 23 mm. ↓ RIC 8 L'Alcudia (Alicante) Particular.

$\frac{+}{PLN}$  (Hacia mitad del 313 a final del 313) Talla 1/96.

12. 2.40 gr. 19 mm. ↓ RIC 280 N.U.V. II

#### 4.3. Taller de Treveris:

$\frac{TF}{PTR}$  (Final del 309 a mitad del 313) Talla 1/72  
IMP CONSTANTINVS PF AVG

SOLI IN - VI - CTO COMITI Sol izq. Globo fuera

13. 4.20 gr. 22 mm ↓ RIC 873 N.U.V. II
14. 4.55 gr. 23 mm. ↓ semejante. N.U.V. II
15. 3.25 gr. 23 mm. ↑ semejante. N.U.V. II
16. 2.40 gr. 23 mm. ↓ semejante. N.U.V. II
17. 4.10 gr. 23 mm. ↑ semejante. N.U.V. II
18. 3.40 gr. 23 mm. ↑ semejante N.U.V. II

21.- Las siglas corresponden al Numario Universidad de Valencia. Cabe distinguir Numario I y Numario II. Para el primero ver:

R. ARROYO ILERA. *El Numario de la Universidad de Valencia. Catálogo, estudio e interpretación de las monedas de la Edad Antigua*. Valencia, 1984. El Numario II corresponden a unos nuevos fondos descubiertos recientemente y en estado de clasificación y estudio por nosotros.

19. 4.25 gr. 23 mm. ↓ semejante N.U.V. II  
 20. 3.93 gr. 23 mm. ↑ semejante. Carcaixent (Valencia) particular  
 21. 3.70 gr. 23 mm. ↑ semejante. M.Arq. A.  
 22. 3.45 gr. 23 mm. ↑ semejante. N.U.V. II

$\frac{TF}{ATR}$  (Mitad del 316 a Abril-Mayo 317) Talla 1/96

23. 3.10 gr. 20 mm. ↑ RIC 100 N.U.V. II  
 24. 2.15 gr. 20 mm. ↑ semejante N.U.V. I 62/2

$\frac{TF}{BTR}$  (317) Sol a derecha. Globo fuera. Talla 1/96

25. 3.10 gr. 19 mm. ↓ RIC 128. Pego (Alicante) particular

#### 4.4. Taller de Arelate:

$\frac{SF}{TARL}$  (315-316)

IMP CONSTANTINVS PF AVG

IMP LICINIVS PF AVG

SOLI IN – VI – CTO COMITI Sol a derecha. Globo fuera. 1ª Emisión.

26. 2.85 gr. 20 mm. ↑ RIC 68. N.U.V. II  
 27. 3.70 gr. 19 mm. ↓ semejante. Pego (Alicante) particular  
 28. 2.80 gr. 19 mm. ↓ semejante. N.U.V. II  
 29. 2.90 gr. 19 mm. ↑ semejante. Camporrobles. particular  
 30. 3.05 gr. 19 mm. ↓ semejante. N.U.V. II  
 31. 2.10 gr. 20 mm. ↓ semejante. N.U.V. II  
 32. 2.45 gr. 20 mm. ↑ semejante. N.U.V. II  
 33. 1.95 gr. 19 mm. ↑ semejante. N.U.V. II

$\frac{SF}{TARL}$  (315-316). Sol a izquierda. Globo fuera. 2ª Emisión.

34. 2.25 gr. 19 mm. ↘ RIC 57. N.U.V. II

$\frac{TF}{XARL}$  (316) Sol izquierda. Globo fuera.

35. 3.40 gr. 23 mm. ↑ RIC 72. N.U.V. II  
 36. 1.45 gr. 21 mm. ↓ semejante. N.U.V. II  
 37. 3.05 gr. 21 mm. ↓ semejante. N.U.V. II  
 38. 3.25 gr. 21 mm. ↓ semejante. N.U.V. II  
 39. 3.30 gr. 21 mm. ↑ semejante. N.U.V. II

$\frac{TF}{QARL}$  Sol a derecha y globo fuera. (Talla 1/96)

40. 2.90 gr. 19 mm. ↓ RIC 87. N.U.V. II  
 41. 2.60 gr. 19 mm. ↑ semejante. N.U.V. II

42. 2.40 gr. 19 mm. ↓ semejante. N.U.V. II

$\frac{TF}{+}$   
 $\frac{PARL}{}$  3.30 gr. 19 mm. ↓ RIC 87. Cullera. particular

$\frac{T}{+}$   
 $\frac{F}{QARL}$  Licinio. 2.60 gr. 19 mm. ↑ Sol a izq. RIC 83. N.U.V. I 60/11

45. 2.90 gr. 19 mm. ↓ semejante. N.U.V. I. 18/5

46. 3.60 gr. 19 mm. ↓ semejante. N.U.V. I. 60/8

$\frac{TF}{+}$   
 $\frac{TARL}{}$  Licinio. 3.70 gr, 19 mm. ↓ Sol a derecha. RIC 82. N.U.V. II

$\frac{TF}{+}$   
 $\frac{TARL}{}$  Constantino. 3.05 gr. 21 mm. ↑ RIC 80. N.U.V. II. Sol a izq.

48. 2.20 gr. 19 mm. ↓ semejante. N.U.V. II.

49. 2.90 gr. 19 mm. ↑ semejante. N.U.V. I. 63/9

$\frac{TF}{+}$   
 $\frac{PARL}{}$  2.75 gr. 19 mm. ↑ semejante. N.U.V. II

$\frac{TF}{PARL}$  (316) Sol a izquierda. Globo fuera.

51. Licinio. 1.95 gr. 20 mm. ↑ RIC 75. N.U.V. II

52. Constantino. QARL. 2.95 gr. 19 mm. ↑ RIC 77. N.U.V. II

53. Constantino. TARL. 2.05 gr. 21 mm. ↓ semejante. N.U.V. II

$\frac{CS}{TARL}$  (Otoño 316 a Mayo-Junio 317) Sol a derecha. Globo fuera.

54. 2.10 gr. 20 mm. ↑ RIC 151. N.U.V. II.

55. 3.10 gr. 19 mm. ↓ semejante. N.U.V. II.

56. PARL. 2.60 gr. 19 mm. ↓ semejante. N.U.V. II

$\frac{CS}{PARL}$  Sol a izquierda. Globo fuera.

57. 2.20 gr. 20 mm. ↓ RIC 145. N.U.V. II

58. SARL. 2.20 gr. 19 mm. ↓ semejante. N.U.V. II.

59. 3.70 gr. 19 mm. ↑ semejante. N.U.V. II.

60. 2.70 gr. 19 mm. ↓ semejante. N.U.V. II.

61. QARL 3.60 gr. 19 mm. ↓ semejante. N.U.V. II.

$\frac{RS}{PARL}$  (317) Busto togado. Sol a derecha. Globo fuera. Talla 1/96.

62. 2.60 gr. 18 mm. ↓ RIC 112. N.U.V. I 63/5.

63. Sol a izquierda. 3.05 gr. 19 mm. semejante. N.U.V. II.

64. 2 gr. 18 mm. ↑ semejante. N.U.V. I 63/24.

$\frac{MF}{PARL}$  (316) Sol a izquierda. Globo fuera. Talla 1/96.

65. 2.40 gr. 19 mm. ↓ RIC 89. N.U.V. II.

66. 2.90 gr. 19 mm. ↓ semejante. N.U.V. II.

#### 4.5. Taller de Lugdunum:

$\frac{FT}{PLG}$  (Final del 309 a 311) Sol a izq. Globo fuera. Talla 1/72

67. 2.80 gr. 22 mm. ↓ RIC 307 N.U.V. II

68. 2.21 gr. 22 mm. ↓ semejante. Borriol. Particular.

69. 2.95 gr. 23 mm. ↑ semejante. N.U.V. II

70. 3.50 gr. 23 mm. ↓ semejante. Pego. Particular.

71. 3.95 gr. 23 mm. ↑ semejante. N.U.V. II

72. 3.70 gr. 23 mm. ↓ semejante. N.U.V. II

73. 3.90 gr. 22 mm. ↑ semejante. N.U.V. II

74. 2.95 gr. 22 mm. ↑ semejante. N.U.V. II

75. 3.10 gr. 22 mm. ↑ semejante. N.U.V. II

76. 3.30 gdr. 23 mm. ↑ semejante. N.U.V. II

77. 4.50 gdr. 23 mm. ↑ semejante. N.U.V. II

$\frac{SF}{PLG}$  (312 - 313) Sol a izq. Globo fuera. Talla 1/72

78. 2.10 gr. 24 mm. ↑ RIC 3 N.U.V. II

79. 3.80 gdr. 23 mm. ↓ semejante. Belgida. Particular.

80. 3.10 gr. 23 mm. ↑ semejante. N.U.V. I 61/6

81. 4.90 gr. 23 mm. ↑ semejante. Benitachell. Particular.

82. 3.40 gr. 23 mm. ↗ semejante. N.U.V. I 60/17

83. 4.00 gdr. 22 mm. ↑ semejante. N.U.V. I 60/20

84. 5.70 gr. 23.5 mm. ↑ semejante. N.U.V. I 60/19

85. 2.90 gr. 19 mm. ↑ semejante. N.U.V. I 62/18

$\frac{TF}{PLG}$  (Principios del 313) Sol a izquierda. Globo alejado del cuerpo. Talla 1/72

86. 4.10 gr. 23 mm. ↑ RIC 15. Oliva. Particular.

$\frac{TF}{PLG}$  (Final del 314-315) Sol a izq. Globo fuera. Talla 1/96

87. 2.05 gr. 19 mm. ↑ RIC 15 N.U.V. II

88. 2.80 gr. 19 mm. ↓ semejante. N.U.V. II

89. 2.50 gr. 19 mm. ↑ semejante. N.U.V. II

90. 2.10 gr. 19 mm. ↓ semejante. N.U.V. II

91. 2.05 gr. 19 mm. ↓ semejante. N.U.V. II

92. 2.70 gr. 19 mm. ↑ semejante. N.U.V. II

93. 3.00 gr. 18 mm. ↓ semejante. N.U.V. I 61/9

94. 2.60 gr. 19 mm. ↑ semejante. N.U.V. I 61/19

95. 2.90 gr. 19 mm. ↓ semejante. N.U.V. I 61/2

96. 2.90 gr. 19 mm. ↑ semejante. N.U.V. I 61/6

TE +

$\frac{PLG}{PLG}$  (315 - 316) Sol a izquierda. Globo fuera. Talla 1/96

97. 3.50 gr. 19 mm. ↓ RIC 32. N.U.V. I 61/21

$\frac{AS}{PLG}$  (316) Sol a izquierda. Globo fuera. Talla 1/96

98. 2.70 gr. 19 mm. ↑ RIC 53 N.U.V. II

99. 3.05 gr. 19 mm. ↗ semejante. N.U.V. II

100. 2.00 gr. 19 mm. ↑ semejante. N.U.V. II

#### 4.6. Taller de Roma:

$\overline{RS}$   $\overline{RT}$   $\overline{RQ}$  (Final 312 mitad 313) Sol derecha. Globo fuera.

101.  $\overline{RS}$  3.50 gdr. 23 mm. ↓ RIC 336 N.U.V. II

102.  $\overline{RT}$  4.70 gr. 21 mm. ↓ RIC 331 Villajoyosa. Particular.

103. 4.10 gr. 23 mm. ↓ semejante. N.U.V. II

104. 2.80 gdr. 22 mm. ↓ semejante. N.U.V. II

105.  $\overline{RS}$  3.95 gr. 22 mm. ↓ LICINIO. RIC 336. N.U.V. II

$\overline{RP}$   $\overline{RT}$   $\overline{RQ}$  (Final 312 mitad 313) Sol izq. Globo fuera

106.  $\overline{RT}$  4.25 gr. 22 mm. ↑ RIC 317 N.U.V. II

107.  $\overline{RP}$  3.15 gr. 22 mm. ↓ RIC 335 N.U.V. II

108. 4.40 gr. 22 mm. ↓ semejante N.U.V. I 62/1

109.  $\overline{RQ}$  2.65 gr. 19 mm. ↓ semejante. N.U.V. II

110. 4.00 gr. 23 mm. ↓ semejante. N.U.V. I 61/3

$\frac{RF}{R+P}$   $\frac{RF}{R+T}$   $\frac{RF}{R+Q}$  (314) Talla 1/96

111.  $\overline{R+P}$  2.70 gdr. 20 mm. ↑ RIC 19 N.U.V. II

112. 2.60 gr. 19 mm. ↓ semejante. N.U.V. I 62/13

113. 2.40 gr. 20 mm. ↑ semejante. N.U.V. II

114. 2.75 gr. 22 mm. ↑ semejante. N.U.V. II

115.  $\overline{R+T}$  3.70 gr. 20 mm. ↑ semejante. N.U.V. II

116. 2.20 gr. 19 mm. ↓ LICINIO. semejante. N.U.V. I 60/10

117.  $\overline{R+Q}$  3.05 gr. 20 mm. ↑ semejante. N.U.V. II

$\frac{RF}{RP}$   $\frac{RF}{RS}$  (314-315) Sol a izq. Globo fuera. Talla 1/96

118.  $\overline{RP}$  3 gdr. 19 mm. ↑ RIC 27. Utiel. Particular.

119. 3.30 gr. 21 mm. ↓ semejante. Utiel. Particular.

120. 2.65 gr. 21 mm. ↓ semejante. N.U.V. II

121. LICINIO. 2.50 gr. 19 mm. ↑ semejante. N.U.V. II

122. R S 2.75 gr. 19 mm. ↓ semejante. N.U.V. II  
 123. 2.95 gr. 19 mm. ↓ semejante. N.U.V. II  
 124. 2.75 gr. 19 mm. ↑ semejante. N.U.V. II  
 125. 3.50 gr. 19 mm. ↑ semejante. N.U.V. II  
 126. 3.00 gr. 21 mm. ↓ semejante. N.U.V. II  
 127. 2.75 gr. 19 mm. ↑ semejante. N.U.V. II  
 128. 3.20 gr. 19 mm. ↑ semejante. N.U.V. II  
 129. 2.60 gr. 20 mm. ↓ semejante. N.U.V. II
- $\frac{S F}{R Q}$  (315) Sol a izq. Globo fuera. Talla 1/96
130. 2.20 gsd. 21 mm. ↓ RIC 33 Benifairo. Particular.
- $\frac{C S}{R P} \frac{C S}{R S}$  (315-316) Sol a izq.
131. 3.10 gr. 20 mm. ↓ RIC 39 N.U.V. II  
 132. 3.20 gr. 21 mm. ↓ semejante. Benifairo. Particular.
- $\frac{+}{R T}$  (316) Sol a derecha. Globo al lado del cuerpo.
132. 3 gr. 21 mm. ↑ RIC 46. N.U.V. II
- $\frac{+}{R T}$  (316) Sol a izq. Globo fuera.
133. 2.85 gr. 20 mm. ↑ semejante. N.U.V. II  
 134. 2.30 gr. 20 mm. ↓ semejante. N.U.V. I 63/11

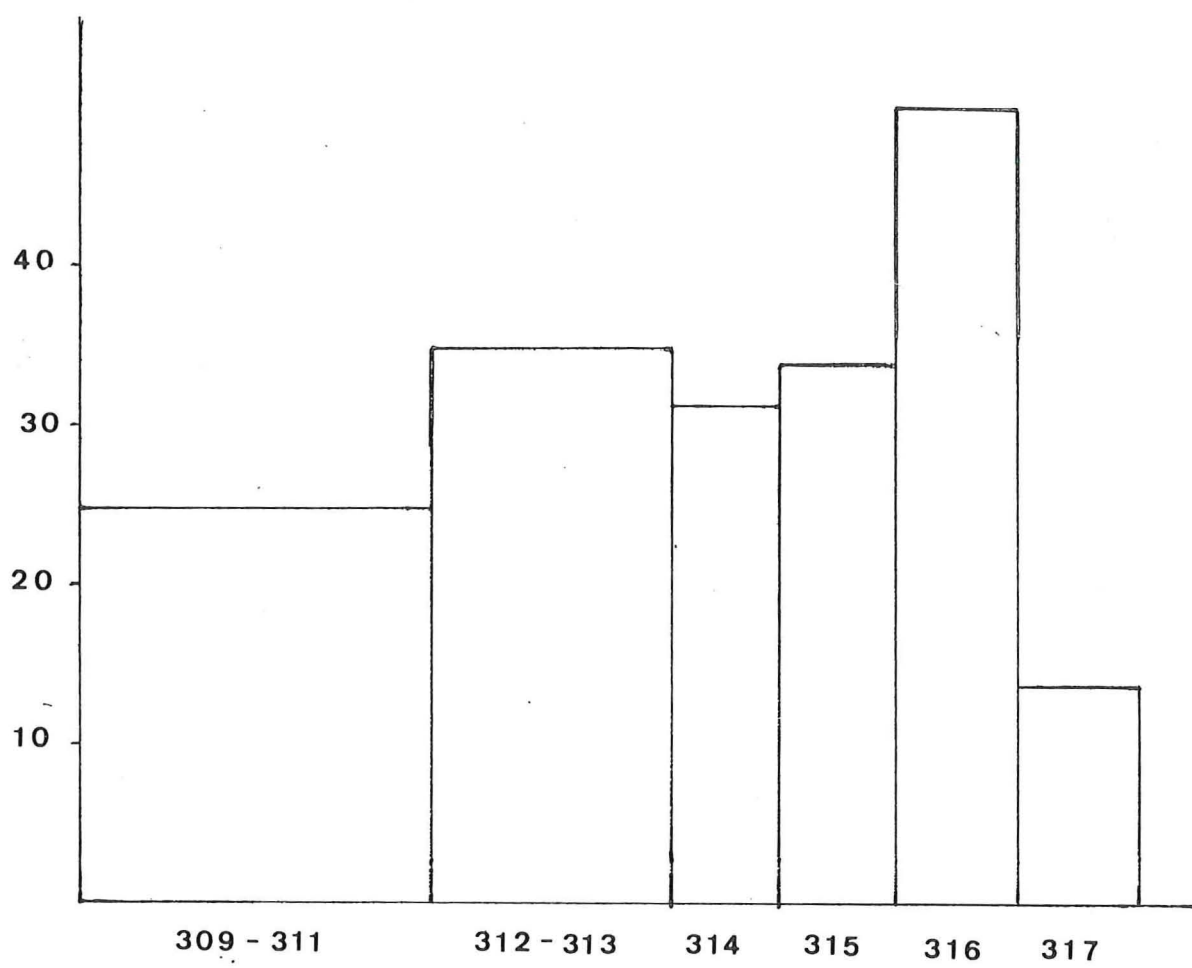


FIGURA 1. Distribución cronológica del volumen de las emisiones monetarias.

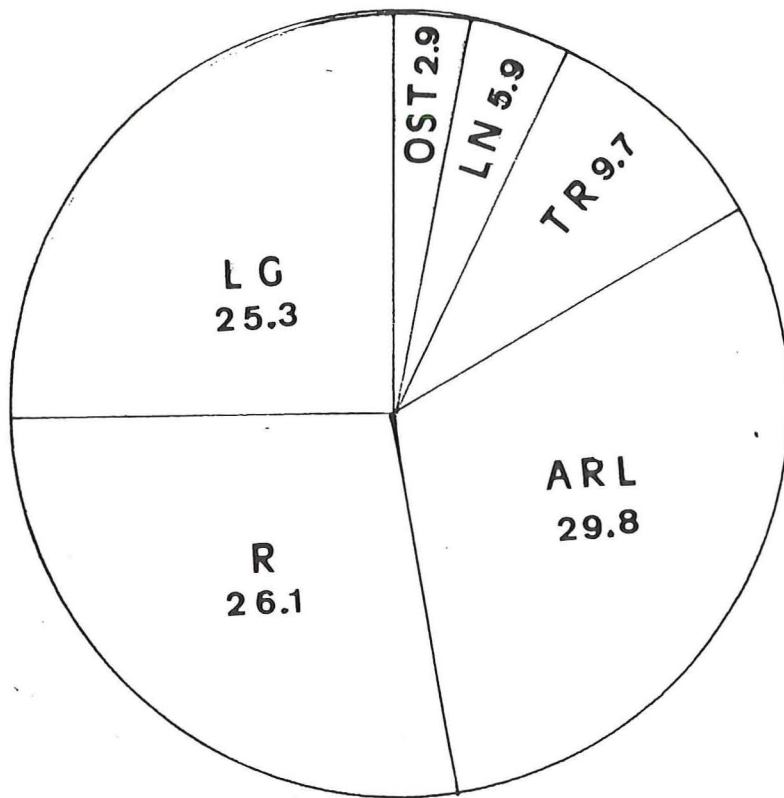


FIGURA 2. reparto porcentual de los talleres monetarios.

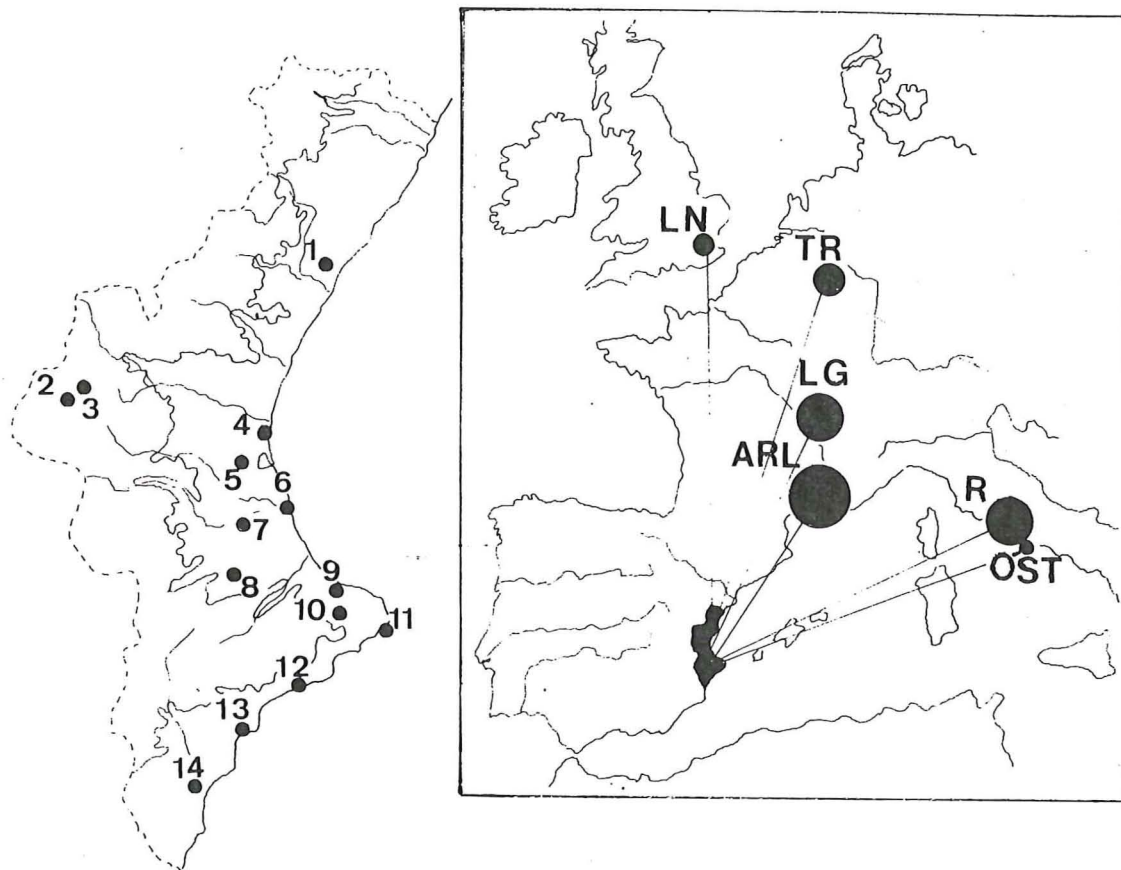
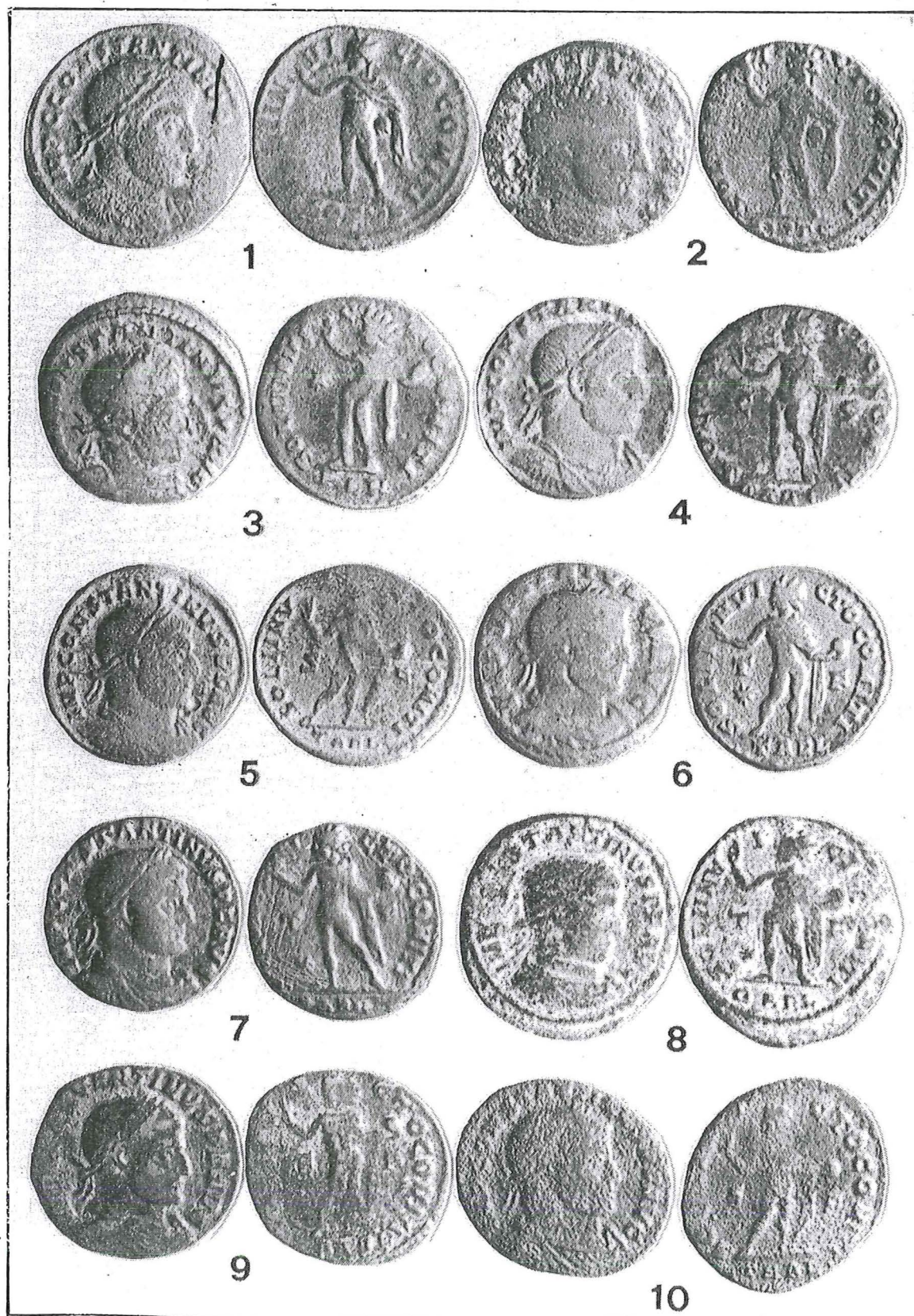


FIGURA 3. Distribución geográfica de los hallazgos. 1 Borriol. 2 Camporrobles. 3 Utiel. 4 Valencia. 5 Benifaió. 6 Cullera. 7 Carcaixent. 8 Belgida. 9 Oliva. 10 Pego. 11 Benitragell. 12 Villajoiosa. 13 Alacant. 14 L'Alcudia. Localización geográfica y volumen de los talleres monetarios.



LAMINA I. E. 1:15. Taller de Ostia 1 y 2. Taller de Londinium 3. Taller de Arlate 4 a 10.



LAMINA 2. E. 1:15. Taller de Arelate 11. Taller de Treveris 12 a 14. Taller de Lugdunum 15 y 16. Taller de Roma 17 a 20.